

Кубицкий В.И.

МЕТОДЫ ВЫЧИСЛЕНИЙ В КОНЕЧНЫХ ПОЛЯХ

ГосНИИ «Аэронавигация» (Россия, Москва)

Проведен анализ методов вычислений в конечных полях. Рассмотрены операции над многочленами в поле $GF(2)$ и над элементами конечных полей $GF(2^m)$. Определены аппаратурная и временная сложности схем, реализующих эти операции на основе известных методов вычислений в конечных полях. Даны их сравнительная оценка

Вычисления в конечных полях (или полях Галуа) используются во многих областях науки и техники. Операции в конечных полях лежат в основе алгоритмов кодирования и декодирования циклических кодов. На основе этих операций также могут быть реализованы некоторые алгоритмы цифровой обработки сигналов, такие как вычисление цифровой свертки или дискретного преобразования Фурье. Вычисления в конечных полях используются в целях повышения точности действия радиолокационных станций, для модуляции выходных сигналов которых применяются M -последовательности. Теория конечных полей также может использоваться в криптографических преобразованиях с открытыми ключами (типа RSA) на сети общего пользования со многими абонентами.

Вопросы реализации вычислений в конечных полях рассматриваются разрозненно, публикации по этим вопросам немногочисленны. Все это препятствует внедрению современных методов кодирования/декодирования и преобразования сигналов в инженерную практику. Однако, в виду важности конечных полей для реализации современных радиоэлектронных систем самого разного назначения, необходимо совершенствовать технику конечных полей.

Учитывая возможности современной микроэлектроники, следует отметить, что перспективные алгоритмы выполнения операций в конечных полях должны быть не только эффективными, но и технологичными, обязательно реализуемыми на базе БИС и должны обеспечивать однородность схем реализации.

Набор команд современных компьютеров не приспособлен для выполнения операций над элементами конечных полей. Поэтому для таких операций создаются дополнительные подпрограммы или специальные вычислительные устройства.

Вычисления в конечных полях с помощью вычислительных устройств могут быть реализованы различными способами. Наибольшее распространение получила реализация операций над многочленами и элементами конечных полей в регистрах сдвига [1 - 3].

Для выполнения операций в конечных полях можно использовать процедуры, предложенные в [4]. В [5] предлагается применять матричные вычислительные устройства. Вычисления можно производить также с использованием табличных методов.

Некоторые алгоритмы вычислений в полях Галуа могут быть реализованы только программным способом. Так, если для криптографических преобразований используются поля высоких порядков $GF(2^{127})$ или $GF(2^{400})$, то логарифм, представляющий элемент поля, вычисляется с помощью специальных алгоритмов [6], которые реализуются программными методами с применением высокопроизводительных компьютеров. Эти алгоритмы либо требуют значительного времени вычислений, либо приводят к возрастанию вероятности ложного определения логарифма, что практически может привести к искажению сообщений.

Для большинства информационно-вычислительных систем и систем связи значительную роль играют такие параметры как аппаратурная сложность со-

ставляющих их элементов и время обработки/передачи информации. С точки зрения улучшения этих параметров необходимо рассматривать реализацию операций в конечных полях.

Рассмотрим некоторые известные способы и схемы выполнения операций над многочленами в поле $GF(2)$ и над элементами конечных полей $GF(2^m)$ и приведём аппаратурные и временные сложности этих схем.

Под *аппаратурной сложностью* (N) схемы будем понимать количество функциональных элементов базисного набора (*И*, *ИЛИ*, *НЕ*) в схеме, реализующей заданную функцию.

Под *временной сложностью* (T) схемы будем понимать время, необходимое для реализации схемой заданной функции; при этом за единицу времени принимается время срабатывания элемента базисного набора (t).

1. Умножение многочленов над полем $GF(2)$

Операцию умножения будем проводить с многочленами

$$\begin{aligned} a(x) &= a_{m-1}x^{m-1} + a_{m-2}x^{m-2} + \dots + a_1x + a_0, \\ b(x) &= b_{n-1}x^{n-1} + b_{n-2}x^{n-2} + \dots + b_1x + b_0 \end{aligned} \quad (1)$$

где $a_i, b_j \in GF(p)$.

При умножении в качестве множимого используется многочлен $a(x)$, в качестве множителя – многочлен $b(x)$. Результатом умножения будет многочлен:

$$e(x) = \sum_{i=0}^{(m-1)+(n-1)} e_i x^i,$$

где $e_i = \sum_{j=0}^i a_j b_{i-j}$.

1.1. Умножение многочленов на сдвиговых регистрах.

Схемы, реализующие умножение многочленов $a(x)$ и $b(x)$ на сдвиговых регистрах, приводятся в [1 - 3, 7, 8 и др.]. Для таких схем введём аббревиатуру ССУМ и определим их сложности.

Для умножения двух многочленов необходимо иметь: сдвиговой регистр, регистр для записи и хранения одного из многочленов-сомножителей (может отсутствовать), набор логических элементов *И* и набор сумматоров по модулю 2. Кроме того, требуется схема управления сдвигами, которая должна определять количество сдвигов (пропорциональное сумме степеней многочленов и равное $(\deg a(x) + 1) + (\deg b(x) - 1) = m + (n - 2)$) и выдавать команды на выполнение сдвигов. При определении сложности устройств умножения многочленов схема управления сдвигами рассматриваться не будет.

Коэффициенты одного из многочленов-сомножителей (пусть это будет многочлен $b(x)$) записываются в регистр для записи и хранения и подаются на умножение параллельно. Коэффициенты другого многочлена-сомножителя (многочлен $a(x)$) поступают в регистр сдвига последовательно.

Из [9] известно, что простейшей схемой регистра сдвига является схема, построенная на *D*-триггерах. Отметим, что перед операцией умножения требуется выполнять обнуление регистра сдвига, для чего необходимо иметь соответствующие входы в триггерах. Регистр для записи и хранения многочлена $b(x)$ может быть построен на однотактных триггерах и предварительного обнуления не требует. Поэтому сложность реализации умножения многочленов будем определять для схемы, построенной с использованием таких триггеров.

С учетом этого в результате расчетов получим, что аппаратурная (N) и временная (T) сложность ССУМ равна:

$$\begin{aligned} N_{CCUM} &= 34n - 23, \\ T_{CCUM} &= [20(m+n) - 29]t. \end{aligned}$$

Здесь не учитывается время обнуления регистра сдвига, которое равно $4t$, так как обнуление можно производить во время записи коэффициентов b_i в соответствующий регистр (при его наличии) и

время этой записи больше времени обнуления (равно $7t$).

Так как в ССУМ может отсутствовать регистр для записи и хранения одного из многочленов-сомножителей (многочлена $b(x)$), то при определении времени умножения необходимо учитывать время обнуления регистра сдвига.

Тогда сложность ССУМ будет следующей:

$$\begin{aligned} N_{CCUM} &= 25n - 23, \\ T_{CCUM} &= [20(m+n) - 32]t. \end{aligned}$$

1.2. Умножение многочленов на матричных вычислительных устройствах.

В [5] предлагается производить умножение многочленов над полем $GF(2)$ с помощью так называемых матричных вычислительных устройств (МВУ). Предложенный подход позволяет повысить быстродействие по сравнению с умножением на сдвиговых регистрах. Матричные устройства умножения многочленов (МУУМ) на базе МВУ строятся на основе базовой ячейки (БЯ), состоящей из одного двухходового элемента I и сумматора по модулю 2.

Сложность МУУМ составляет [5]:

$$N_{MUYM} = 5mn, \quad T_{MUYM} = (3n+1)t.$$

2. Деление многочленов над полем $GF(2)$

Деление многочлена $c(x)$ на многочлен $a(x)$ производится в соответствии с выражением:

$$c(x) = a(x) \cdot b(x) + r(x),$$

где многочлены $a(x)$ и $b(x)$ представлены выражениями (1), многочлен $r(x) = r_{r-1}x^{r-1} + r_{r-2}x^{r-2} + \dots + r_1x + r_0$ является остатком от деления, коэффициенты $a_i, b_j, r_s \in GF(p)$.

Степень многочлена $c(x)$ (делимого) равна:

$$\begin{aligned} \deg c(x) &= (d-1) = \\ &= \deg a(x) + \deg b(x) = (m-1) + (n-1). \end{aligned}$$

Степень многочлена $b(x)$ (частного) изначально неизвестна, но ее можно вычислить из выражения:

$$\begin{aligned} \deg b(x) &= (n-1) = \\ &= \deg c(x) + \deg a(x) = (d-1) + (m-1). \end{aligned}$$

Степень многочлена $r(x)$ (остатка) определяется степенью делителя $a(x)$:

$$\deg r(x) = (r-1) < \deg a(x) < (m-1).$$

2.1. Деление многочленов на сдвиговых регистрах.

Схемы, реализующие деление многочленов $c(x)$ и $a(x)$ на сдвиговых регистрах, приводятся в [1 - 3, 7 и др.]. Для таких схем введём аббревиатуру ССДМ и определим их сложности.

Для деления, также как и для умножения двух многочленов, необходимо иметь: сдвиговой регистр, регистр для записи и хранения делителя (может отсутствовать), набор логических элементов I и набор сумматоров по модулю 2. Кроме того, требуется еще схема управления сдвигами, которая должна определять количество сдвигов (пропорциональное сумме степеней многочленов и равное $(\deg c(x) + 1) + (\deg a(x) - 1) = d + (m-2)$) и выдавать команды на выполнение сдвигов. При определении сложности устройств деления многочленов схема управления сдвигами рассматриваться не будет.

Коэффициенты делителя $a(x)$ записываются в регистр для записи и хранения делителя и подаются для деления параллельно. Коэффициенты делителя $c(x)$ поступают в регистр сдвига последовательно.

Регистр сдвига строится на D -триггерах, регистр для записи и хранения делителя $a(x)$ – на однотактных триггерах.

Сложность устройств деления многочленов (ССДМ), построенных на сдвиговых регистрах составляет:

$$\begin{aligned} N_{CCDM} &= 34m - 33, \\ T_{CCDM} &= (20d + 7)t. \end{aligned}$$

Здесь не учитывается время обнуления регистра сдвига, которое равно $4t$, так как обнуление можно производить во время записи коэффициентов a_i в соответствующий регистр (при его наличии) и время этой записи больше времени обнуления (равно $7t$).

Так как в ССДМ может отсутствовать регистр для записи и хранения делителя $a(x)$, то сложность ССДМ будет следующей:

$$N_{\text{ССДМ}} = 25m - 24,$$

$$T_{\text{ССДМ}} = (20d + 4)t.$$

Здесь при определении времени деления учитывалось время обнуления регистра сдвига.

2.2. Деление многочленов на матричных вычислительных устройствах.

Сложность устройств деление многочленов (МУДМ) над полем $GF(2)$, построенных на базе МВУ, определяется разрядностями делимого и делителя и составляет [5]:

$$N_{\text{МУДМ}} = 5(d - m + 1)m,$$

$$T_{\text{МУДМ}} = 4(d - m + 1)t.$$

3. Операции над элементами конечного поля $GF(2^m)$

Пусть:

$GF(p^m)$ – конечное поле, порождаемое не-приводимым примитивным многочленом

$$p(x) = x^m + p_{m-1}x^{m-1} + \dots + p_0x^0 = x^m + h(x)$$

степени m ;

α – примитивный элемент поля, корень неприводимого примитивного полинома $p(x)$.

Здесь $p_i \in GF(p)$, где p – простое число, характеристика поля.

Тогда любой элемент конечного поля $GF(p^m)$ может быть представлен в виде:

- степени примитивного элемента α^i ($i = 0, 1, 2, \dots, 2^m - 2$);

- логарифма (индекса) i элемента α^i ($\alpha^i \in GF(p^m)$);

- многочлена

$$h(\alpha) = p_{m-1}\alpha^{m-1} + \dots + p_0\alpha^0;$$

- m -мерного p -ичного вектора

$$[p_{m-1}, p_{m-2}, \dots, p_0].$$

Соответственно представления элементов конечного поля называются: степенное, логарифмическое, полиномиальное, векторное.

В зависимости от способа представления элементов конечного поля применяются различные способы реализации вычислений в конечном поле. Для случая представления элементов поля в виде степеней примитивного элемента α конечного поля используются логарифмы Зеча. Если элементы конечного поля представлены в виде логарифма (индекса) i элемента α^i , то используются таблицы логарифмов и антилогарифмов. Полиномиальное и векторное представление элементов конечного поля позволяет выполнять операции над этими элементами с применением следующих способов:

- непосредственное вычисление с использованием логических функций;
- вычисление на сдвиговых регистрах;
- вычисление в матричных вычислительных устройствах;
- реализация умножителя в ПЗУ.

Для полиномиального и векторного представления элементов конечного поля сложение элементов выполняется проще, чем для других способов представления.

Кратко охарактеризуем упомянутые способы реализации вычислений в конечных полях $GF(2^m)$.

1) Непосредственное вычисление с использованием логических функций.

В этом случае вычисление может выполняться с использованием двухвходовых логических элементов I и сумматоров по модулю 2. Характерным примером для этого способа является способ, предложенный в [4] и позволяющий реализовывать операции умножения, а также инвертирования в конечных полях малых порядков (со степенью порождающего полинома не более 6), на комбинацион-

ных схемах. Для инвертирования элементов конечных полей более высоких порядков необходимо использовать компьютеры. Этот способ обеспечивает высокую скорость вычислений.

2) Вычисление на сдвиговых регистрах.

Схемы, реализующие этот способ вычисления, находят широкое применение и описаны во многих литературных источниках ([1 - 3, 7, 10, 11 и др.]). Однако, скорость вычисления для данного способа меньше, чем для способа непосредственного вычисления с использованием логических функций. Но, как показывают исследования, при больших m в некоторых случаях (скажем, при $m \geq 9$ для изменяющегося неприводимого полинома $p(x)$) этот способ может привести к экономии аппаратных средств. При такой реализации для большинства практически применимых конечных полей время выполнения операций над элементами этих полей не обеспечивает возможности роста скоростей передачи информации.

3) Реализация умножителя в ПЗУ.

Для полей $GF(2^m)$ с небольшим числом элементов (скажем, для $m \leq 6$) более эффективным по сравнению со способом непосредственного вычисления произведения с использованием логических функций является умножение в ПЗУ. В этом случае результаты произведений элементов поля и результаты их мультипликативных инверсий должны содержаться в таблицах, для хранения которых можно использовать постоянные запоминающие устройства (ПЗУ) или программируемые логические матрицы (ПЛМ). Очевидно, что в этом случае необходимо заранее вычислять результаты произведений элементов поля и результаты их мультипликативных инверсий перед тем как занести их в таблицу. Кроме этого, такая таблица будет отражать результаты операций фиксированного конечного поля. Табличный метод также требует существенно большего количества оборудования, чем при реализации операций с использованием схем умножения и деле-

ния многочлена. Схема для умножения двух элементов поля $GF(2^m)$ будет иметь $2m$ входов и m выходов и может быть реализована на ПЗУ $2^{2m} \times m$.

4) Использование таблиц логарифмов и антологарифмов.

При этом способе умножения (деления) элементов поля складываются (вычитываются) по модулю $(2^m - 1)$ их логарифмы. Затем берутся антологарифмы. Обратный переход необходим потому, что сложение элементов конечного поля выполняется проще, если эти элементы представлены в векторном виде или в виде многочлена.

В отличие от логарифма действительного числа логарифм в конечном поле является чрезвычайно нерегулярной функцией. Неизвестно никакого быстрого способа нахождения логарифма примитивного элемента α конечного поля: либо его находят непосредственно, вычисляя подряд все последовательные степени примитивного элемента α до тех пор, пока не встретится нужный элемент конечного поля (что очень медленно), либо (что несколько лучше) используется таблица логарифмов.

Этот метод хорош для $m \leq 4$ поля $GF(2^m)$, но практически неприемлем при больших значениях m , особенно потому, что кроме таблицы логарифмов необходимо иметь также таблицу антологарифмов такого же объема.

5) Использование логарифмов Зеча [12].

При этом способе для умножения используется только представление элементов поля в виде степеней примитивного элемента α конечного поля. Умножение выполняется как сложение по модулю $(2^m - 1)$ степеней примитивного элемента α , в виде которых представлены элементы поля. Сложение же выполняется с помощью так называемых логарифмов Зеча. В этом случае нет необходимости иметь таблицу антологарифмов.

6) Умножение в матричных вычислительных устройствах (МВУ) [5].

МВУ позволяют на заданной элементной базе достичь высокого быстродействия, а однородность структуры делает возможным их реализацию в виде БИС.

Рассмотрим более подробно некоторые из способов выполнения операций над элементами конечного поля $GF(2^m)$, имеющими полиномиальное и векторное представления.

Если элементы поля $GF(p^m)$ представлять в виде многочленов над полем $GF(p)$, степень которого меньше m , то:

- сложение элементов $a, b \in GF(p^m)$ выполняется по правилу сложения представляющих их многочленов, т.е. $a(x) + b(x) = c(x)$;

- умножение элементов $a, b \in GF(p^m)$ выполняется по правилу умножения представляющих эти элементы многочленов по модулю заданного неприводимого многочлена $p(x) = x^m + p_{m-1}x^{m-1} + \dots + p_0x^0$, т.е. $a(x) \cdot b(x) \equiv c(x) \pmod{p(x)}$;

- делению одного элемента $a \in GF(p^m)$ на другой элемент $b \in GF(p^m)$ соответствует умножение многочлена $a(x)$ на многочлен $c(x)$, соответствующий элементу $c \in GF(p^m)$, обратному $b \in GF(p^m)$, где многочлен $c(x)$ должен удовлетворять условию $b(x) \cdot c(x) \equiv 1 \pmod{p(x)}$.

4. Умножение элементов конечного поля $GF(2^m)$

4.1. Умножение элементов конечного поля на сдвиговых регистрах.

Определим сложности реализации операции умножения на сдвиговых регистрах для схемы, приведенной в [3] и содержащей 2 сдвиговых регистра, суммирующий регистр и блок логического умножения. Для хранения неприводимого многочлена $p(x)$ можно иметь регистр.

Из [9] известно, что простейшей схемой регистра сдвига является схема, построенная на D -триггерах. Простейшую схему суммирующего регистра можно построить на синхронизируемом двух-

тактом T -триггере [9]. Регистр для хранения многочлена $h(x)$ может быть построен на однотактных триггерах. Поэтому сложность реализации умножения элементов конечного поля будем определять для схемы, построенной с использованием этих триггеров.

Рассмотрим построение схем умножения элементов конечного поля на сдвиговых регистрах (ССУЭ) для любого неприводимого многочлена $p(x)$ заданной степени;

Так как подачу в ССУЭ значений величин p_i (0 или 1) полинома $h(x)$ в двоичном представлении $[p_{m-1}, p_{m-2}, \dots, p_0]$ можно обеспечить без использования регистра (например, подавая на входы соответствующие уровни сигналов), то будем рассчитывать сложность для двух случаев: с наличием регистра для хранения многочлена $h(x)$ и без такового.

Время умножения будем определять с учетом времени, необходимого для предварительной записи в регистры перемножаемых элементов. Для рассматриваемой схемы перемножаемые элементы записываются в регистры параллельно. Для простоты расчетов примем, что оба сомножителя поступают в ССУЭ одновременно.

В результате анализа и расчетов получим следующие выражения для определения аппаратурной и временной сложности ССУЭ.

Аппаратурная сложность составляет:

а) без учета сложности регистра для хранения многочлена $h(x)$:

$$N_{CCU\mathcal{E}}^I = 77m - 2;$$

б) с учетом сложности регистра для хранения многочлена $h(x)$:

$$\bar{N}_{CCU\mathcal{E}}^I = 86m - 11.$$

Время умножения равно:

$$T_{CCU\mathcal{E}}^I = (22m + 15)t.$$

Отметим, что время умножения не зависит от наличия или отсутствия регистра для хранения многочлена $h(x)$.

4.2. Умножение элементов конечного поля по Барти-Шнейдеру.

В [4] показано, что при умножении элементов $a = (a_{m-1}, a_{m-2}, \dots, a_1, a_0)$ и $b = (b_{m-1}, b_{m-2}, \dots, b_1, b_0)$ каждая их m составляющих $c = (c_{m-1}, c_{m-2}, \dots, c_1, c_0)$ определяется из соотношения:

$$c_i = [a_0, a_1, \dots, a_{m-1}] \cdot [M_i] \cdot \begin{bmatrix} b_0 \\ b_1 \\ \vdots \\ b_{m-1} \end{bmatrix}, \quad (2)$$

где $M_i = [\alpha_{kl}^{(i)}]$ – квадратная матрица порядка m , элемент которой $\alpha_{kl}^{(i)} \in GF(2)$ является i -й координатой произведения базисных элементов поля $GF(2^m)$,
 $i = \overline{0, m-1}$.

Построим комбинационные схемы умножения элементов конечного поля $GF(2^m)$, реализующие соотношение (2). Такие схемы будем называть схемами умножения элементов конечного поля по Барти-Шнайдеру (БШУЭ).

На рис. 1 приведена схема одного разряда устройства умножения элементов поля $GF(2^m)$.

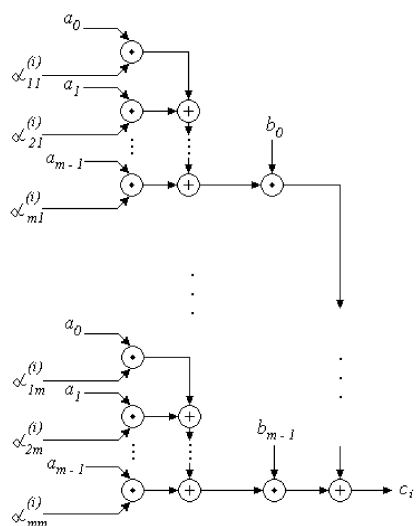


Рис. 1. Схема одного разряда устройства умножения элементов поля $GF(2^m)$

На рис. 2 показана универсальная схема (УБШУЭ) одного разряда устройства умножения элементов поля $GF(2^m)$, построенная на основе базовой ячейки (БЯ), состоящей из элемента I на два входа и двухходового сумматора по модулю 2 имеющей 3 входа и 1 выход.

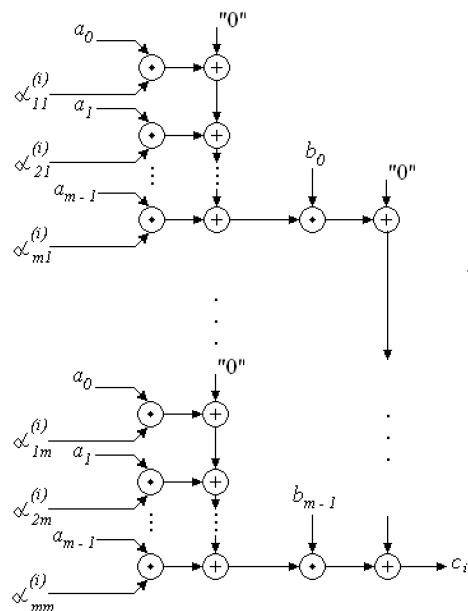


Рис. 2. Универсальная схема одного разряда устройства умножения элементов поля $GF(2^m)$ на БЯ (УБШУЭ)

Базовую ячейку можно составить из $(m+1)$ элементов I на два входа и $(m+1)$ двухходовых сумматоров по модулю 2. Тогда схема одного разряда устройства умножения будет состоять из m таких базовых ячеек (БЯ_{\max}). Каждая базовая ячейка будет иметь $(2m+3)$ входов и 1 выход.

Определим аппаратурную и временную сложности схем умножения для любого неприводимого многочлена $p(x)$ заданной степени с предварительным вычислением величин $\alpha_{kl}^{(i)}$ и их хранением.

Анализ и расчет показывает, что схема умножения по Барти-Шнейдеру (построенная на основе схемы одного разряда – рис. 1) имеет аппаратурную сложность (для вычисления всех величин c_i и без учета сложности вычисления величин $\alpha_{\mu}^{(i)}$):

$$N_{EUVV2}^I = (m+1)(5m-4)m\,.$$

Время умножения для этого случая составляет (при одновременном вычислении величин c_i и с учетом времени вычисления на схемах I величин $a_j \cdot \alpha_{kl}^{(i)}$):

$$T_{БШУЭ}^I = (6m - 4)t.$$

Если схемы умножения (рис. 2) строятся на основе БЯ, то имеем:

$$N_{УБШУЭ} = 5m^2(m+1),$$

$$T_{УБШУЭ} = (6m + 2)t.$$

Кроме того, для обеих схем (рис. 1 и рис. 2) необходимо иметь m^3 ячеек памяти для хранения величин $\alpha_{kl}^{(i)}$.

Следует отметить, что схемы УБШУЭ можно адаптировать к изменению степени m многочлена $p(x)$.

4.3. Умножение элементов конечного поля на матричных вычислительных устройствах.

Схемы матричных устройств умножения элементов (МУУЭ) конечного поля $GF(2^m)$ [5] строятся на основе базовой ячейки (БЯ), состоящей из двух элементов I на два входа каждый и двух двухвходовых сумматоров по модулю 2.

Сложность МУУЭ составляет [5]:

$$N_{МУУЭ} = 10m^2, T_{МУУЭ} = 7mt.$$

5. Инвертирование элементов конечного поля $GF(2^m)$

Известно, что в любом поле для любого ненулевого элемента существует обратный элемент по умножению, т. е. такой элемент, произведение которого на исходный элемент поля равно единице.

Пусть

$a(x) = a_{m-1}x^{m-1} + a_{m-2}x^{m-2} + \dots + a_1x + a_0$ – многочлен, представляющий элемент поля $GF(2^m)$, инверсное значение которого необходимо найти. Инверсией этого многочлена будет многочлен $b(x) = b_{m-1}x^{m-1} + b_{m-2}x^{m-2} + \dots + b_1x + b_0$ такой, что $\langle a(x) \cdot b(x) \rangle_{p(x)} = 1$ или:

$$a(x) \cdot b(x) = p(x) \cdot q(x) + c(x), \quad (3)$$

$$\begin{aligned} \text{где } p(x) &= p_m x^m + p_{m-1} x^{m-1} + \dots + p_1 x + p_0; \\ q(x) &= q_{m-2} x^{m-2} + q_{m-3} x^{m-3} + \dots + q_1 x + q_0; \\ c(x) &= c_{m-1} x^{m-1} + c_{m-2} x^{m-2} + \dots + c_1 x + c_0 \\ (\text{здесь } c_{m-1} &= c_{m-2} = \dots = c_1 = 0, \quad c_0 = 1). \end{aligned}$$

Решение $b(x)$ может быть найдено по алгоритму Евклида. Но этот процесс сложно реализовать аппаратно, так как он имеет большое число промежуточных результатов, которые должны запоминаться.

Инвертирование элементов конечного поля, имеющих полиномиальное и векторное представления, может быть выполнено на регистрах сдвига [1 - 3, 7], комбинационных схемах по способу Барти-Шнайдера [4], а также с помощью последовательности мультипликаторов, дающих возможность получения $(2^m - 2)$ -ой степени инвертируемого элемента β ($\beta^{-1} = \beta^{2^m - 2}$), так как ненулевые элементы поля $GF(2^m)$ образуют циклическую мультипликативную группу порядка $(2^m - 1)$.

5.1. Инвертирование элементов конечного поля на сдвиговых регистрах.

Для нахождения многочлена $b(x)$, удовлетворяющего (3), Берлекэмпом [7] на основе алгоритма деления Евклида предложена процедура вычисления с использованием двух основных регистров сдвига, а также требующая дополнительно наличие маркерного регистра и схемы управления [3].

При построении схем (устройств) инвертирования элементов конечного поля на сдвиговых регистрах (ССИЭ) можно использовать сумматор по модулю 2, D -триггер и T -триггер, которые соответственно реализуются с помощью 4, 18 и 21 элементов базисного набора. Тогда в результате расчёта получаем, что аппаратурная сложность ССИЭ, приведенной в [3], для любого неприводимого многочлена $p(x)$ заданной степени равна:

$$N_{ССИЭ}^I = 102(m+2) + 64.$$

Для наиболее простой реализации инвертирования с помощью процедуры Берлекэмпа требуется до $(2m+1)$ тактов [3].

5.2. Инвертирование элементов конечного поля с помощью последовательности мультипликаторов.

Существует много путей получения (2^m-2) -ой степени инвертируемого элемента β . Эффективным способом является формирование последовательности $\beta, \beta^2, \beta^3, \dots, \beta^{2^m-2}$ путём использования соотношения

$$\begin{aligned} & \beta^2 \cdot \beta^4 \cdot \beta^8 \cdot \dots \cdot \beta^{2^{m-1}} = \\ & = \{(\beta^2) \cdot \beta\}^2 \cdot \beta \dots \}^2 = \beta^{2^m-2}. \end{aligned}$$

Каждый шаг процедуры требует перемножения текущей последовательности на β и возвведения в квадрат результата. Всего в процедуре $(m-1)$ шаг.

Инверсия (относительно умножения) с помощью последовательности мультипликаторов может формироваться, если допускает время (например, при малом количестве необходимых делений).

6. Новые методы вычислений в конечных полях

В работах [13 - 16] предложены методы, позволяющие выполнять:

1) операции над многочленами в поле $GF(2)$:

- умножение многочленов [13],
- умножение на фиксированный многочлен [13],
- деление многочленов [14];

2) умножение элементов конечного поля $GF(2^m)$ [15, 16].

Определены также сложности комбинационных схем, реализующих эти операции.

Для комбинационных схем умножения многочленов (КСУМ):

$$N_{KCSUM} = 5mn - 4(m+n) + 4 \quad \text{для } m < n \text{ и } m > n,$$

$$T_{KCSUM} = (3m-2)t \quad \text{для } m < n,$$

$$T_{KCSUM} = (3n-2)t \quad \text{для } m > n.$$

Для универсальных комбинационных схем умножения многочленов (УКСУМ):

$$N_{UKSUM} = 5mn \quad \text{для } m < n \text{ и } m > n,$$

$$T_{UKSUM} = (3m+1)t \quad \text{для } m < n,$$

$$T_{UKSUM} = (3n+1)t \quad \text{для } m > n.$$

Для комбинационных схем деления многочленов (КСДМ):

$$N_{KCDM} = 5(m-1)n = 5(m-1)(d-m+1),$$

$$T_{KCDM} = 4(d-m+1)t.$$

Для комбинационных схем умножения элементов конечного поля (КСУЭ и УКСУЭ) [16]:

$$N_{KCU\mathcal{E}} = m(10m-13) + 4,$$

$$N_{UKCU\mathcal{E}} = 5m(2m-1),$$

$$T_{KCU\mathcal{E}} = (6m-2)t,$$

$$T_{UKCU\mathcal{E}} = (6m-8)t.$$

Дадим сравнительную оценку аппаратурной и временной сложностей схем, реализующих методы выполнения операций над многочленами в поле $GF(2)$ и элементами поля $GF(2^m)$, предложенные в [13 - 16], и аналогичных параметров известных схем, построенных в [1 - 5].

В результате сравнения КСУМ и ССУМ (при наличии регистра для записи и хранения сомножителя в ССУМ) получаем:

1) при $\deg a(x) = \deg b(x)$:

$$N_{KCSUM} - N_{CCSUM} = 5m^2 - 42m + 27,$$

$$T_{CCSUM} - T_{KCSUM} = (37m-27)t,$$

т. е. КСУМ лучше ССУМ:

– по аппаратурной сложности – для $m < 8$,

– по временной сложности – для $m \geq 1$;

2) при $\deg a(x) \neq \deg b(x)$:

$$N_{CCSUM} - N_{KCSUM} = 38n - 27 - m(5n-4)$$

– для $n > m$ и $m > n$,

$$T_{CCUM} - T_{KCUM} = (17m + 20n - 31)t$$

– для $n > m$,

$$T_{CCUM} - T_{KCUM} = (17n + 20m - 31)t$$

– для $m > n$,

т. е. КСУМ лучше ССУМ:

– по аппаратурной сложности – для $n < (4m - 27)/(5m - 38)$,

– по временной сложности – для любых m и n .

Сравнение КСУМ и МУУМ показывает:

1) при $\deg a(x) = \deg b(x)$ сложность КСУМ меньше сложности МУУМ:

$$N_{MUUM} - N_{KCUM} = 4(2m - 1),$$

$$T_{MUUM} - T_{KCUM} = 3t;$$

2) при $\deg a(x) \neq \deg b(x)$ сложность КСУМ меньше сложности МУУМ:

$N_{MUUM} - N_{KCUM} = 4(m + n - 1)$ – для $n > m$ и $m > n$,

$$T_{MUUM} - T_{KCUM} = 3t \text{ – для } m > n,$$

$T_{MUUM} - T_{KCUM} = 3(n - m + 1)t$ – для $n > m$.

Сравнение УКСУМ и МУУМ дает следующее:

1) при $\deg a(x) = \deg b(x)$ сложности одинаковы;

2) при $\deg a(x) \neq \deg b(x)$:

– аппаратурная сложность одинаковая,

– время умножения одинаковое при $m > n$,

– время умножения на МУУМ больше на величину $3(n - m)t$ при $n > m$.

Поэтому из-за меньшей временной сложности при $n > m$ более простой является УКСУМ.

Сравнивая КСДМ и ССДМ (при наличии регистра для записи и хранения делителя в ССДМ) получаем:

$$N_{KCUM} - N_{CCUM} = (m - 1)[5(d - m + 1) - 34] - 1,$$

$$T_{CCUM} - T_{KCUM} = (16d + 4m + 3)t,$$

т. е. КСДМ лучше ССДМ:

– по аппаратурной сложности – для $(d - 1) - (m - 1) \leq 5$,

– по временной сложности – для $d \geq 1$ и $m \geq 1$.

Для КСДМ и МУДМ сложность одинаковая. Аппаратурная сложность больше для МУДМ на величину $5(d - m + 1)$.

Аппаратурная сложность КСУЭ меньше аппаратурной сложности ССУЭ для $m \leq 9$. Временная сложность меньше для КСУЭ на величину $(16m + 17)$.

Сложность КСУЭ и УКСУЭ, реализующих метод умножения элементов конечного поля $GF(2^m)$, предложенный в [16], меньше сложности матричных вычислительных устройств [5] и схем умножения по способу, предложеному в [4].

Выводы

Проведенный анализ методов вычислений в конечных полях и сравнительная оценка сложности схем, реализующих эти методы, показал, что разработанные в [13 - 16] методы умножения и деления многочленов над полем $GF(2)$ и умножения элементов конечного поля $GF(2^m)$ имеют преимущество по сравнению с ранее известными методами. Кроме того, эти методы позволяют создавать быстродействующие схемы, структура которых однородна и универсальна, в отличие от структуры линейных последовательностных машин, что делает их перспективными для реализации в виде БИС.

Полученные математические выражения для определения сложности схем, реализующих вычисления с помощью регистров сдвига, а также схем, построенных по методу Барти-Шнайдера, позволили сделать сравнения этих схем со схемами, реализующими новые методы.

Список литературы

1. Питерсон У., Уэлдон Э. Коды, исправляющие ошибки: Пер. с англ. / Под ред. Р.Л. Добрушина и С.И. Самойленко. – М.: Мир, 1976. – 596 с.

2. Гилл А. Линейные последовательностные машины. – М.: Наука, 1974. – 287 с.
3. Блох Э. Л., Зяблов В. В. Обобщенные каскадные коды. – М.: Связь, 1976. – 240 с.
4. Bartee T.C., Shneider D.I. Computations with finite fields. – Information and control, 1963. – 6. – Р. 79–98.
5. Смолов В. Б., Шумилов Л. А., Зайкова Л. А. Построение матричных вычислительных устройств для выполнения операций над многочленами и элементами конечных полей $GF(2^m)$. – Электронное моделирование, 1979. – №2. – С. 63–67.
6. Coppersmith D. – IEEE Trans., 1984, v. IT-30, №4.
7. Берлекэмп Э. Алгебраическая теория кодирования. – М.: Мир, 1971. – 477 с.
8. Блейхут Р. Теория и практика кодов, контролирующих ошибки: Пер. с англ. / Под ред. К. Ш. Зигангирова. – М.: Мир, 1986. – 576 с.
9. Каган Б. М. Электронные вычислительные машины и системы. – М.: Энергия, 1979. – 528 с.
10. Golomb S.W. Shift Register Sequences. – Holden-Day. San Francisco, 1967.
11. Kautz W.H., ed. Linear sequential switching circuits: Selected papers. – Holden-Day. San Francisco, 1965.
12. Conway J. H. A tabulation of some information concerning finite fields, in: R.F. Churchhouse and J.-C. Herz eds., Computers in Mathematical Research, (North-Holland, Amsterdam, 1968) – Р. 37–50.
13. Кубицкий В.И. Операции над многочленами в поле $GF(2)$. – Научный вестник ГосНИИ “Аэронавигация”, серия «Проблемы организации воздушного движения. Безопасность полетов». №7. – М.: 2007. – С. 185–194.
14. Кубицкий В.И. Деление многочленов над полем $GF(2)$. Научный Вестник МГТУ ГА, № 132 (8). – М.: МГТУ ГА, 2008. – С. 86–93.
15. Жуков И.А., Кубицкий В.И., Дрововозов В.И. Алгоритмы выполнения операций над элементами конечного поля $GF(2^m)$ в вычислительных устройствах. – Матеріали VIII Міжнародної науково-технічної конференції “ABIA-2007”. – Т.1. – К.: НАУ, 2007. – С. 13.5–13.8.
16. Кубицкий В.И. Умножение элементов конечного поля $GF(2^m)$. – Научный Вестник МГТУ ГА, № 145 (8). – М.: МГТУ ГА, 2009. – С. 105–112.